

논문 98-7-3-10

Reaction Sintering에 의한 ZnO : Al<sub>2</sub>O<sub>3</sub> 합성물의 구조 및 광학적 특성

장병모\*, 박계춘\*\*, 유용택\*

The Structural and Optical Properties of ZnO : Al<sub>2</sub>O<sub>3</sub>  
Compound by Reaction Sintering

Byeong-Mo Kang\*, Gye-Choon Park\*\*, Yong-Tek Yoo\*

## 요약

ZnO 분말과 Al<sub>2</sub>O<sub>3</sub> 분말을 1 : 1의 mole 비로 ball milling 시킨 후, 압착하여 펠렛을 제작하였다. 소성시 분위기 를 진공으로 유지하기 위하여 각각  $3 \times 10^{-5}$  Torr의 진공도로 석영관에 봉입한 다음 900°C ~ 1200°C로 소성하였다.

실험결과, 900°C ~ 1100°C 까지는 ZnO, Al<sub>2</sub>O<sub>3</sub> 및 ZnAl<sub>2</sub>O<sub>4</sub>의 혼합구조를 보이다가 1200°C에서 (311), (220)면등의 주된 피크를 갖는 다결정으로 성장하여 ZnAl<sub>2</sub>O<sub>4</sub> 삼원화합물의 구조가 확인되었고, 전자현미경촬영에 의해 화합물의 결정화된 입자들이 관찰되었다. 광흡수측정에 의해 에너지 밴드갭은 약 4.75 eV로 계산되었으며, PL 스펙트럼은 소결온도의 상승에 따라 단파장영역으로 이동하여, 1200°C에서 430nm부근에서 발광피크를 보였다.

## Abstract

ZnO and Al<sub>2</sub>O<sub>3</sub> powder were weighed in 1 : 1 mole ratio and ball-milled in ethanol for 3 h. Dried mixture were pressed and then sintered at 900°C ~ 1200°C for 3 h in vacuum( $3 \times 10^{-5}$  Torr).

According to XRD, remnant ZnO and Al<sub>2</sub>O<sub>3</sub> not converted to ZnAl<sub>2</sub>O<sub>4</sub> were observed up to 1100°C, which were completely changed to ZnAl<sub>2</sub>O<sub>4</sub> ternary compound at 1200°C. Optical bandgap is calculated at 4.75 eV. With increasing sintering temperature, PL spectrums shifted to shorter wavelengths and are appeared 430nm at 1200°C.

## 1. 서론

II-VI족 화합물, III-V족 화합물, 천이금속 및 희토류원소등은 발광재료로서 이미 많은 연구들이 체계적으로 수행되고 있다. 그러나, 이러한 형광물질 중에서 ZnS, CdS등의 기존의 황화물계 형광체는 특성의 우수

함에도 불구하고 황 등의 가스방출로 인해 소자의 수명이 단축되는 등의 많은 문제점을 안고 있다. 이와 비교하여 최근 화학적으로 안정하여 방출가스가 거의 없고, 전기전도성이 우수한 ZnGa<sub>2</sub>O<sub>4</sub>와 같은 산화물계 형광체의 연구<sup>[1,2]</sup>가 활발하게 이루어지고 있으며, 특히 ZnGa<sub>2</sub>O<sub>4</sub> 형광체는 자체활성화에 의한 청색발광이 가능하고 첨가불순물의 종류에 따라 녹색 및 적색발광이 가능하다고 보고되고 있다. 그러나, ZnGa<sub>2</sub>O<sub>4</sub> 화합물의 Ga과 이온반경이 매우 유사하고 화학적으로 같은 III-B

\* 전남대학교 공과대학 전자공학과 (Dept. of Electronics Chonnam Nat'l Univ.)

\*\* 목포대학교 공과대학 전기공학과(Dept. of Elec. Eng. Mokpo Nat'l Univ.)

<접수일자 : 1998년 4월 8일>

족인 Al을 이용한  $ZnAl_2O_4$  화합물에 대한 연구<sup>[3-5]</sup>는 아직까지는 미흡한 단계이다.

$ZnAl_2O_4$  화합물에 대한 그 동안의 연구를 살펴보면, Wan-Shick Hong 등<sup>[4]</sup>은 단상의  $ZnAl_2O_4$  분말과 ball milling 및 화학적 침전을 이용하여 각각 제작한 ZnO와  $Al_2O_3$  혼합물의 소결반응에 의한 특성을 비교하여 보고하였다. 또한, M. V. Zdujić 등<sup>[5]</sup>은 ZnO 분말과  $Al_2O_3$  분말을 혼합하여 ball milling한 다음, 이 때 발생한 기계화학적 에너지에 의해  $ZnAl_2O_4$  화합물이 형성되어 가는 현상을 연구하였다. 지금까지 ZnO의 에너지 밴드갭은 약 3.2 ~ 3.3 eV<sup>[6]</sup>,  $Al_2O_3$ 의 에너지 밴드갭은 약 7.4 eV<sup>[7]</sup>로 보고된 바 있으며,  $ZnAl_2O_4$ 와 같은 spinel 구조이면서 형광체로 사용되어지는  $ZnGa_2O_4$ 의 에너지 밴드갭은 4.4 eV<sup>[8]</sup>로 알려져 있다. 그러나  $ZnAl_2O_4$ 의 에너지 밴드갭 값은 보고된 바가 없다.

본 논문에서는 자체발광력, 고휘도, 저전력등의 특성을 갖는 재료의 우선 확보 및 비교적 저가이면서 취급이 용이한 ZnO 분말과  $Al_2O_3$  분말을 이용한 산화물계 화합물의 일종인  $ZnAl_2O_4$  소결체를 제작하여 그 구조 및 광학적 특성을 조사하였다.

## 2. 실험

1 : 1 mole 비의 ZnO 분말(미국, CERAC사)과  $Al_2O_3$  분말(일본, Shinyo Pure Chemicals사)을 ethanol에 섞어 stirring bar를 이용하여 혼합시킨 다음, 약 200°C에서 1시간 정도 전조시켰다. 전조시킨 후, 혼합물은  $ZrO_2$  ball(10mm)을 이용하여, 약 100 rpm 정도의 속도로 milling 하였으며, 이때 ball과 분말의 무게비는 대략 5 : 1 정도로 하였다. Ball milling된 혼합분말은 막사사발을 이용하여 다시 한번 가볍게 갈았으며, 유압프레스를 이용하여 1 ton/cm<sup>2</sup>의 압력으로 혼합분말을 가압하여 직경 10mm, 두께 2mm의 펠렛을 성형하였다. 제작된 펠렛을 각각  $3 \times 10^{-5}$  Torr 정도로 진공봉입한 다음 고온 전기로를 이용하여 진공분위기로 소성하였다. 이때 소성온도에 따른  $ZnAl_2O_4$ 의 구조적, 광학적 특성의 변화를 조사하기 위하여, 소성온도를 900°C ~ 1200°C에서 100°C 간격으로 하였고 소성시간은 3시간으로 고정하였다. 또한 승온시에는 상온에서 500°C까지는 분당 10°C씩, 그 이상에서는 분당 5°C로 하였고, 냉각은 분당 -20°C로 하였다. 그림 1에 본 실험의 시편제작과정을 나타내었다.

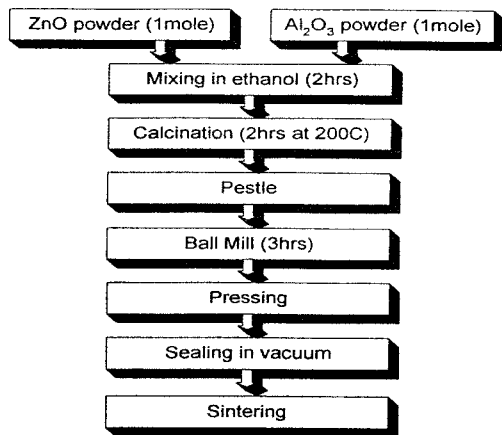


그림 1. 펠렛의 제조과정

Fig. 1. Processing of pellet fabrication

소성된 펠렛의 결정성을 파악하기 위해 X-선 회절분석(Model D/MAX-2400, Rigaku사)을 하였으며, 측정시 사용한 X-선원은  $CuK\alpha$ (파장 1.5405 Å), 회절각( $2\theta$ )은 20° ~ 80°의 범위에서 조사하였다. 이때 가속전압과 전류는 각각 30kV와 20mA였다. 측정으로부터 얻은 X-선 회절패턴을 JCPDS 카드와 비교하여 결정면들을 결정하였고, Cohen의 방법<sup>[9]</sup>을 이용하여 격자상수값을 구하였다.

표면의 미세구조관찰에는 주사전자현미경(JSM 5400, JEOL사)을 이용하였으며, 표면에 수백 Å의 두께로 금을 코팅한 다음, 5000배의 배율로 촬영하였다. UV-VIS-NIR Spectro-photometer(U-3501, Hitachi)를 이용하여 광흡수도를 측정하였으며, 측정파장의 범위는 200nm ~ 800nm로 하였다. 광발광특성은 PL 측정장치를 이용하여 조사하였으며, 사용된 여기광원으로는 325nm의 자외선을 발생시키는 He-Cd Laser(LiCONiX, 3650N, USA)가 사용되었다. 방출된 광은 double monochromator(SPEX, 1403, USA)로 분광시킨 다음, GaAs PMT detector (R943-02, USA)를 사용하여 측정하였다.

## 3. 결과 및 논의

제작된 소결체의 X-선 회절분석 결과는 그림 2에 나타내었으며, 그림에서 볼 수 있듯이 소성 전에는 ZnO와  $Al_2O_3$ 의 피크가 공존하고 있다. 그러나, 900°C로 소성시킨 혼합물에서부터 미약한  $ZnAl_2O_4$ 의 피크가 관

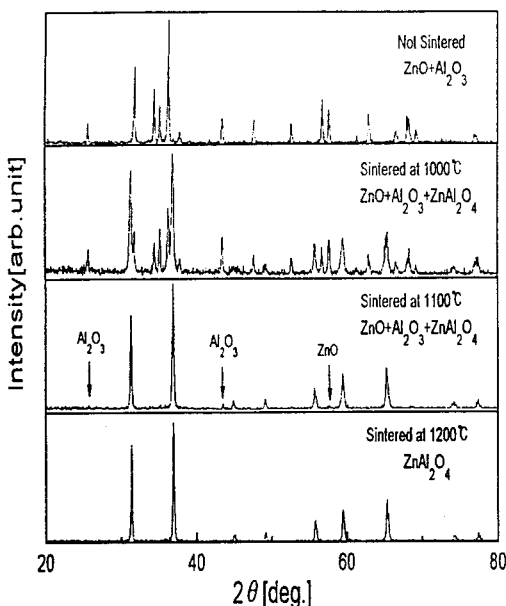


그림 2. 소성온도에 따른 X-선 회절패턴

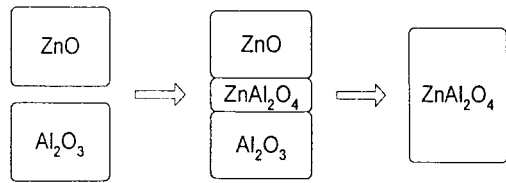
Fig. 2. XRD patterns at various temperature

측되기 시작하였으며, 온도의 상승에 따라 피크강도가 증가하였다. 이러한 현상은 ZnO와 Al<sub>2</sub>O<sub>3</sub>사이의 화학반응에 의한 것으로서, 소성온도가 1200°C에 이르면 강도순으로 2θ가 36.95°, 31.37°, 65.32° 등에서 각각 (311), (220), (440)면 등의 주된 피크를 갖는 다결정으로 성장하여 완전한 ZnAl<sub>2</sub>O<sub>4</sub> 화합물이 형성됨을 확인할 수 있었다.

1200°C에서 얻은 X-선 회절분석 결과로부터 참고로 Cohen의 방법<sup>[9]</sup>을 이용하여 격자상수값을 구한 다음, JCPDS 회절 테이터 카드의 격자상수값과 비교하여 표 1에 나타내었다. 이 결과, 온도별로 제작된 소결체의 격자상수값이 JCPDS 회절 데이터카드의 격자상수값과 거의 일치함을 알 수 있다.

표 1. 1200°C로 소성시킨 ZnAl<sub>2</sub>O<sub>4</sub> 화합물의 격자상수값Table 1. Lattice constant of ZnAl<sub>2</sub>O<sub>4</sub> compound sintered at 1200°C

ZnAl <sub>2</sub> O <sub>4</sub> (Spinel Structure)			
JCPDS Card (No.5-669)	Sintered at 1200°C		
	Exp. Value	Deviation	
a	8.084 Å	8.063 Å	0.013 Å

그림 3. ZnO + Al<sub>2</sub>O<sub>3</sub> ⇒ ZnAl<sub>2</sub>O<sub>4</sub> 반응과정의 표현Fig. 3. Representation of the reaction process ZnO + Al<sub>2</sub>O<sub>3</sub> ⇒ ZnAl<sub>2</sub>O<sub>4</sub>

Wan-Shick Hong 등<sup>[4]</sup>의 연구결과에 의하면, 900°C 까지는 ZnO, Al<sub>2</sub>O<sub>3</sub> 및 ZnAl<sub>2</sub>O<sub>4</sub>가 공존하다가 1000°C에 이르면 ZnAl<sub>2</sub>O<sub>4</sub> 화합물이 성장됨을 보고하였다. 이 결과는 본 실험과 거의 일치하나, 온도별 성장과정에서 약간의 차이를 보이며, 그 원인은 소결시간을 포함한 제작조건의 차이에서 비롯된 것으로 해석된다.

온도가 상승하면 분자들은 그들의 결합을 깨뜨리기 위해 충분한 에너지를 얻게되며, 새로운 결정을 형성하기 위하여 서로 다른 분자들간에 매우 빠른 반응을 보인다.<sup>[10]</sup> 이러한 원리에 의하여 Al<sub>2</sub>O<sub>3</sub> 결정 내 원자들은 열에너지에 의해 재배열되면서 구조의 변화를 일으키며, 변화된 구조의 내부로 ZnO 분자들이 확산을 일으키게 된다. 초기반응은 표면장력에 의해 distort된 ZnO와 Al<sub>2</sub>O<sub>3</sub>의 인접면을 통하여 발생하며, 온도가 더욱 상승하게 되면 ZnO 분자는 ZnAl<sub>2</sub>O<sub>4</sub> 층을 통하여 Al<sub>2</sub>O<sub>3</sub> 결정내부로 확산된다. ZnAl<sub>2</sub>O<sub>4</sub> 화합물은 이러한 현상에 의하여 이루어지며, 이상의 메커니즘을 그림 3에 간략하게 표현했다.

표면의 미세구조를 관찰하기 위하여 소성 전, 900°C 및 1200°C로 소성시킨 후 펠렛의 전자현미경사진을 활용한 결과를 그림 4에 각각 나타내었다.

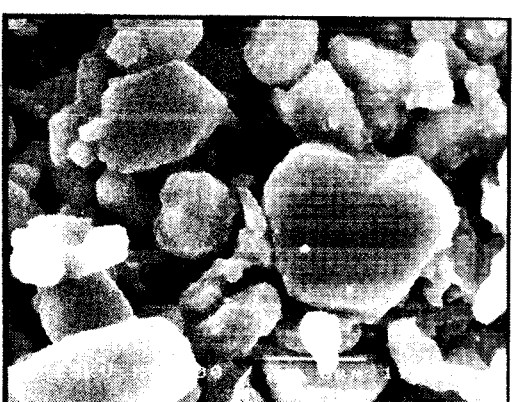
소성시키기 전 그림을 보면 약간의 ZnAl<sub>2</sub>O<sub>4</sub> 화합물 입자들이 관찰되어지는는데, 이는 calcination 과정에서 발생되는 열에너지에 의해 이미 약간의 결정화가 이루어진 결과임을 알 수 있다. 그러나 X-선 회절분석 결과와 비교하여 보면, 소성 전 펠렛에서는 ZnAl<sub>2</sub>O<sub>4</sub>의 피크가 발견되지 않았으며, 이는 ZnAl<sub>2</sub>O<sub>4</sub>의 강도가 ZnO와 Al<sub>2</sub>O<sub>3</sub>의 강도에 비해 상대적으로 미약하기 때문으로 예측된다. 또한 M. V. Zdujic<sup>[3]</sup>등은 ball milling 과정에서 일어나는 마찰화학작용에 의해 기계화학적 에너지가 발생하여 ZnAl<sub>2</sub>O<sub>4</sub> 화합물이 형성됨을 보고하였는데, 본 실험에서도 ball milling에 의한 영향이 ZnAl<sub>2</sub>O<sub>4</sub> 화합물의 형성에 다소 작용하였으리라 예측된다.



(a)



(b)



(c)

그림 4. 펠렛의 전자 현미경 사진.

(a) 소성 전, (b) 900°C, (c) 1200°C

Fig. 4. SEM photographs of the pellets.  
(a) before sintering, (b) 900°C, (c) 1200°C

일반적으로 소성온도가 높아질수록 결정의 크기는 커지게 된다. 실험결과 온도의 상승에 따라 ZnO와 Al<sub>2</sub>O<sub>3</sub> 입자들이 현저하게 줄어듦이 관찰되었으며, 상대적으로 ZnAl<sub>2</sub>O<sub>4</sub>의 입자들의 크기가 커졌음을 확인 할 수 있었다. 또한, 1200°C로 소성시킨 펠렛의 활영사진에서는 ZnAl<sub>2</sub>O<sub>4</sub> 화합물의 결정화된 입자들을 관찰할 수 있으며, 이는 Wan-Shick Hong<sup>[4]</sup> 등의 연구결과와 거의 일치한다.

그림 5는 200nm~800nm의 파장영역과 300K의 온도 영역에서 측정한 소결체의 광흡수 스펙트럼이며, 소성온도가 증가할수록 상대적으로 ZnO의 양이 감소하면서 광흡수 세기 또한 감소하는 것을 잘 나타내어 주고 있다. 그러나 Al<sub>2</sub>O<sub>3</sub>의 에너지 밴드갭에 해당되는 흡수단은 측정영역의 한계를 넘어 나타나지 않았다.

측정된 광학적 에너지 밴드갭의 환산은 다음과 같은 식을 이용하여 구한다.

$$(\alpha \cdot h\nu)^n \sim (h\nu - E_g) \quad (1)$$

여기서 직접전이형일 경우에는 n=2, 간접 전이형일 경우는 n=1/2이다. ZnO의 에너지 밴드갭은 직접전이형으로 알려져 있으므로, 입사광의 에너지에 대한  $(\alpha h\nu)^2$ 을 plot한 다음 x축 절편의 값을 외삽법을 이용하여 구하면 에너지 밴드갭을 환산할 수 있다. 이와같은

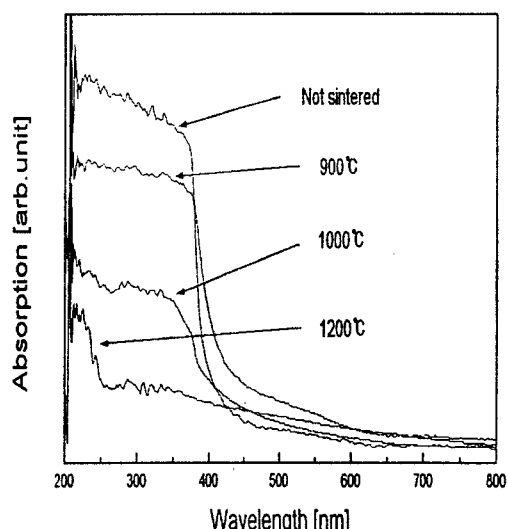


그림 5. 소성온도에 따른 광흡수 스펙트럼

Fig. 5. Absorption spectrums at various temperature

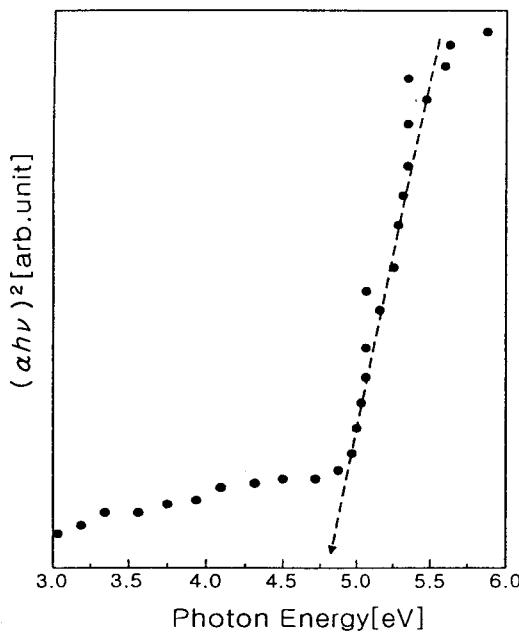


그림 6. 1200°C로 소성시킨 펠렛의 입사광자에너지에 대한  $(\alpha h\nu)^2$ 의 작도

Fig. 6. Plot of  $(\alpha h\nu)^2$  vs. the incident photon energy in the pellet sintered at 1200°C

방법을 사용하여 구한 ZnO 분말의 에너지 밴드갭 값은 3.20 eV였다. 또한 그림에서 나타나는 바와 같이 소성 전 혼합물과 900°C~1000°C로 소성시킨 소결체의 광흡수 스펙트럼에서는 ZnO에 해당하는 흡수단만이 관측되어지며, 식 (1)에 의하여 환산된 에너지 밴드갭 값은 3.2~3.1 eV였다. 그러나 1100°C 이상으로 소성시킨 소결체에서는 250nm의 단파장영역에서 새로운 흡수단을 관측할 수 있다. 이것을 X-선 회절분석의 결과와 비교해 보면 ZnAl<sub>2</sub>O<sub>4</sub> 화합물의 형성에 기인한 흡수단이라 예측할 수 있으며, 식 (1)을 이용하여 에너지 밴드갭 값을 환산하면 ZnAl<sub>2</sub>O<sub>4</sub> 소결체의 광학적 에너지 밴드갭 값은 약 4.75 eV로 계산되었으며, 그림 6에 나타내었다.

광발광특성은 PL 측정장치를 이용하여 상온에서 측정하였으며, 그 파장범위는 350nm~900nm였다. 그림 7은 제작된 소결체의 온도별 PL 스펙트럼이다. 그림에서 보여주는 것처럼 소성 전에는 자외선영역인 385nm와 가시영역인 540nm에서 주된 피크를 나타낸다. 이를 X-선 회절분석결과와 비교하여 보면 ZnO와 Al<sub>2</sub>O<sub>3</sub>가 구조적으로 공존하고 있으므로, 이로 인해 ZnO의 발광

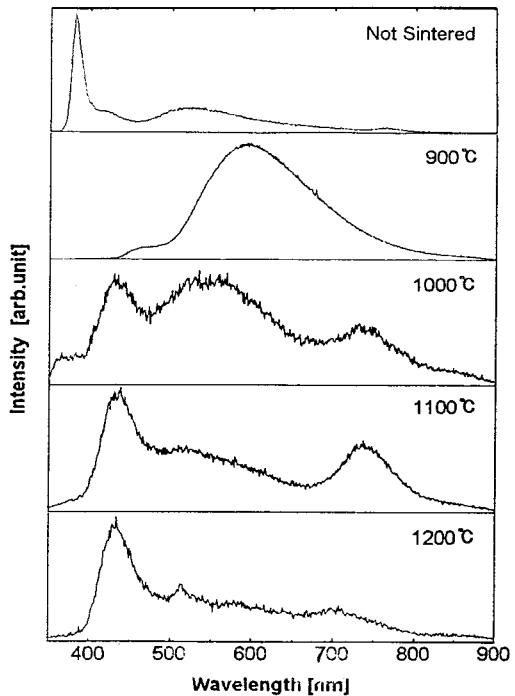


그림 7. 소성된 펠렛의 광발광 스펙트럼

Fig. 7. Photoluminescent emission spectra of sintered pellets

과 Al<sub>2</sub>O<sub>3</sub>의 발광이 중첩되어 나타나고 있음을 예상할 수 있다.

900°C로 소성한 소결체의 PL 스펙트럼을 살펴보면 385nm의 피크가 소멸되었음을 확인할 수 있으며, 이의 분석을 위해 제작에 사용된 ZnO 분말을 별도로 1000°C에서 소성하여 보았는데, 385nm의 피크가 급격히 감소하는 것을 확인할 수 있었다. 이상의 결과를 온도의 상승에 따라 가시영역(540nm)과 자외선영역(385nm)의 피크가 감소하면서, 385nm의 피크가 장파장대로 이동함을 보고한 R. E. Shrader 등<sup>[11]</sup>의 연구와 비교해 보면 거의 일치함을 확인할 수 있었으며, 이로 인해 900°C에서 보여지는 피크의 변화는 ZnO 분말의 소성에 의한 영향의 결과임을 알 수 있다.

그러나 각 온도별 PL 스펙트럼을 비교하여 보면 소성온도의 상승과 더불어 PL 스펙트럼의 피크가 단파장대와 장파장대로 나뉘어 이동함을 볼 수 있다. 이는 ZnAl<sub>2</sub>O<sub>4</sub> 화합물 생성단계에서 발생하는 ZnO와 Al<sub>2</sub>O<sub>3</sub>의 화학적 합성으로 인한 영향으로 보여지며, 1100°C로 소성된 소결체의 PL 스펙트럼에서는 900°C에서 보인

스펙트럼과는 완전히 다른 430nm와 740nm근방의 피크를 관찰할 수 있다. 비교를 위하여 1000°C의 PL 스펙트럼을 살펴보면, 600nm근방에서 피크를 보인 900°C로 소성된 소결체가 1000°C에서는 550nm근방으로 이동하면서 세기가 약해지며, 430nm와 740nm근방에서 새로운 피크가 관찰되었다. 1100°C에 이르러서는 550nm의 피크가 더욱 약해지며 상대적으로 430nm와 740nm근방의 피크들이 뚜렷하게 관찰되었으며, 1200°C가 되면 430nm의 피크만이 관찰되었다. ZnO와 Al<sub>2</sub>O<sub>3</sub>의 화학적 결합에 의해 ZnAl<sub>2</sub>O<sub>4</sub> 화합물이 형성됨은 X-선 회절분석 결과 이미 확인되었으며, 이러한 결정구조의 변화 또한 PL 대역의 변화에 영향을 미친다.<sup>[10]</sup> 본 실험에서는 hexagonal 구조의 ZnO와 Al<sub>2</sub>O<sub>3</sub>가 반응하여 spinel 구조의 ZnAl<sub>2</sub>O<sub>4</sub> 화합물로 결정화하는 동안, PL 방출 스펙트럼의 재배열로 인해, 온도가 상승할수록 방출대역이 단파장 대역으로 이동함을 확인하였다.

1100°C에서의 X-선 회절분석 결과에 의하면, ZnAl<sub>2</sub>O<sub>4</sub> 화합물의 피크들과 함께 아주 약한 ZnO와 Al<sub>2</sub>O<sub>3</sub>의 피크들도 관찰된다. 한편 1100°C 소결체의 PL 스펙트럼을 살펴보면 430nm와 740nm근방에서의 피크가 관찰되며, 이는 ZnAl<sub>2</sub>O<sub>4</sub> 화합물에 의한 발광스펙트럼이 ZnO와 Al<sub>2</sub>O<sub>3</sub>의 발광에 의해 대소간에 영향을 받고 있음을 의미한다. 그러나 같은 온도에서의 광흡수는 전혀 다른 새로운 흡수단이 관찰된다. 결과적으로 1100°C의 온도에서 ZnAl<sub>2</sub>O<sub>4</sub>로 결합되지 못하고 남아있는 소량의 ZnO와 Al<sub>2</sub>O<sub>3</sub>는 광흡수에는 거의 영향을 미치지 못했음을 알 수 있다.

이상의 결과는 대기상태에서 소성시킨 ZnAl<sub>2</sub>O<sub>4</sub> 화합물의 PL이 온도상승에 따라 장파장대역으로 이동하였던 연구결과<sup>[12]</sup>와 큰 차이를 보였으며, ZnS 형광체에 관한 보고에서 물질이 결정화하는 동안 온도, 결정구조, 냉각속도, 가스상태 등 여러 가지 조건에 의해 발광대역이 이동된다고 보고한 S. Rothschild<sup>[13]</sup>의 연구결과와 비교하여, 소성시 조건이 다른 가스분위기에 따라 광발광현상이 커다란 차이를 보임을 확인할 수 있었다. 그러므로 제작조건을 달리한 많은 실험을 통하여 특성을 파악하고, 원인규명을 위한 지속적인 연구가 앞으로도 계속되어야 할 것이다.

#### 4. 결 론

본 실험에서는 비교적 저가이면서 취급이 용이한

ZnO와 Al<sub>2</sub>O<sub>3</sub> 분말을 혼합한 다음, reaction sintering을 이용하여 소성온도에 따른 소결체의 구조적특성과 광학적특성을 조사하였다. 소성시 가스분위기는  $3 \times 10^{-5}$  Torr 정도로 하여 진공봉입한 다음 고온 전기로를 이용하였다.

X-선 회절분석결과에 의하면, 1000°C까지의 소성온도에서는 ZnO, Al<sub>2</sub>O<sub>3</sub> 및 ZnAl<sub>2</sub>O<sub>4</sub>가 공존하고 있으나, 1100°C에서는 ZnO, Al<sub>2</sub>O<sub>3</sub>의 아주 약한 피크가 관찰되었다. 결국 1200°C에서 (311), (220), (440)면 등의 주된 피크를 갖는 다결정으로 성장하여 완전한 ZnAl<sub>2</sub>O<sub>4</sub> 삼원화합물을 확인할 수 있었다. 소성 전 펠렛의 전자현미경 사진을 촬영한 결과 calcination 과정에서 발생되는 열에너지에 의하여 이미 약간의 결정화가 이루어졌음을 알 수 있었으며, 1200°C에서의 촬영사진에서 결정화된 ZnAl<sub>2</sub>O<sub>4</sub> 화합물의 미세구조를 볼 수 있었다. 광흡수측정에 의하여 광학적에너지 밴드갭은 약 4.75 eV로 추측되었으며, 소성온도의 증가에 따라 상대적으로 ZnO의 광학적 흡수가 감소하면서 세기 또한 감소하였다. 또한 광발광특성을 조사한 결과, 900°C에서는 600 nm에서 주된 피크를 보이나, 온도의 상승에 따른 PL 방출스펙트럼의 재배열로 인해 방출대역이 단파장대역으로 이동하여, 1200°C에 이르면 ZnAl<sub>2</sub>O<sub>4</sub> 화합물의 형성에 따른 430nm의 피크가 관찰되었다. 이는 750nm근방에서 피크를 보인 대기상태에서 소성시킨 소결체와는 전혀 다른 결과를 보이는데, 소성시 가스분위기등 여러 가지 조건에 의해 발광대역이 변화된 것으로 추측되며, 이러한 원인의 규명에는 보다 많은 연구가 필요하다.

#### 참 고 문 헌

- [1] Chang Feng Yu, Pang Lin, "Manganese-activated luminescence in ZnGa<sub>2</sub>O<sub>4</sub>", J. Appl. Phys., Vol. 79(9), 1996.
- [2] I. J. Hsieh, K. T. Chu, C. F. Yu, and M. S. Feng, J. Appl. Phys., Vol 76, pp. 3735, 1994.
- [3] C. Leblud, M. R. Anseau, E. di Rupo, F. Cambier and P. Fierens, "Reaction Sintering of ZnO-Al<sub>2</sub>O<sub>3</sub> Mixtures", J. Mater. Sci., Vol.16, 539-44, 1981.
- [4] Wan-Shick Hong, Lutgard C. De Jonghe, Xi Yang, Mohamed N. Rahaman, "Reaction Sintering of ZnO-Al<sub>2</sub>O<sub>3</sub>", J. Am. Ceram. Soc, Vol.78[12], pp.3217-24, 1995.

- [5] M. V. Zdujić , O. B. Milosevic, Lj. C. Karanovic, "Mechanochemical treatment of ZnO and Al<sub>2</sub>O<sub>3</sub> powders by ball milling", Materials Letters, Vol. 13, pp.125-129, 1992.
- [6] F. C. M. Van De Pol, F. R. Blom, and Th. J. A. Popma, "R. F. planar magnetron sputtered ZnO films. I. structural properties", Thin Solid Films, Vol. 204, pp. 349-364, 1991.
- [7] B. G. Yacobi, D. B. Holt, "Cathodoluminescence of Microscopy of Inorganic Solids", Plenum Publishing Corporation, 1990.
- [8] Su-Hua Yang and Meiso Yokoyama, "Improvement of Catholuminescence for ZnGa<sub>2</sub>O<sub>4</sub> Phosphor by Second Fired Process", Jpn. J. Appl. Phys., Vol.36, pp. 5145-5150, 1997.
- [9] B. D. Cullity, "Elements of X-ray Diffraction", (Addison-Wesley Pub. Co., Inc., 1977)
- [10] Humbolt W. Leverenz, "An Introduction to Luminescence of Solid", Dover Publications Inc., 1968
- [11] R. E. Shrader and H. W. Leverenz, "Cathodoluminescence Spectra of Zinc-Oxide Phosphors", J. Optical Soc. Am., Vol.37, No.11, pp.920-923, 1947.
- [12] Byeong-Mo Kang, Gye-Choon Park, "The Structural and Optical Properties of ZnAl<sub>2</sub>O<sub>4</sub> Ternary Compound" Journal of the Mokpo National University Engineering Research Institute, Vol.7, p77-88, 1997.
- [13] S. Rothschild, "The Luminescent Spectra of Zinc Sulphide and Zinc Cadmium Sulphide Phosphors", Trans. Faraday Soc., Vol. 42, No. 290, 635-642, 1946.

---

著 者 紹 介

---



**강 병 모**

1968년 11월 5일생, 1994년 2월 조  
선대학교 전자공학과 졸업(공학  
사), 1998년 2월 전남대학교 대학  
원 전자공학과 졸업(공학석사),  
1998년 ~ 현재 동대학원 박사과정

**박 계 춘**

『센서학회지 제2권 제1호』 논문 93-12, p.94 참조  
현재 목포대학교 전기공학과 교수

**유 용 택**

『센서학회지 제2권 제1호』 논문 93-12, p.94 참조  
현재 전남대학교 전자공학과 교수